

05,10,11

## Фрустрации и упорядочение в магнитных системах различной размерности

© Ф.А. Кассан-Оглы<sup>1</sup>, А.И. Прошкин<sup>1,2,¶</sup>

<sup>1</sup> Институт физики металлов УрО РАН им. М.Н. Михеева, Екатеринбург, Россия

<sup>2</sup> Уральский федеральный университет им. Б.Н. Ельцина, Екатеринбург, Россия

¶ E-mail: proshkin\_ai@imp.uran.ru

На основании точных и численных расчетов в рамках моделей Изинга и Поттса на решетках различных типов и размерностей (одномерной, квадратной, треугольной, гексагональной, кагоме, простой кубической и объемноцентрированной) исследованы возникающие магнитные упорядочения, фазовые переходы и фрустрации при учете обменных взаимодействий между магнитными моментами на ближайших и вторых соседних узлах, а также внешнего магнитного поля. Установлены причины возникновения фрустраций и определены существенные особенности поведения фрустрированных систем, отличающие их от систем нефрустрированных.

Работа выполнена в рамках государственного задания ФАНО России (тема „Квант“ № 01201463332) при финансовой поддержке УрО РАН (проект № 15-8-2-10).

DOI: 10.21883/FTT.2018.06.45980.04M

### 1. Введение

За последние 15 лет к проблемам фрустраций в магнитных системах проявляется все возрастающий интерес, о чем свидетельствует бурный рост числа публикаций (см., например, [1]). Экспериментальный и теоретический материал по фрустрированным магнитным системам, как в низкоразмерных объектах, так и в реальных 3D-кристаллах и некристаллических веществах, весьма богат и изобилует новыми явлениями и необычными свойствами. Однако надлежащая интерпретация и теоретическое объяснение множества экспериментальных фактов и новых эффектов в настоящее время отсутствует, многие свойства фрустрированных систем еще недостаточно поняты. Численные расчеты разнообразными методами компьютерного моделирования фрустрированных систем часто приводят к ложным результатам из-за отсутствия надежных критериев истинности.

Главной задачей данного исследования являлось установление причин возникновения фрустраций в системе и нахождение конкретных значений физических параметров, определяющих упорядочена ли система или находится во фрустрированном состоянии. Такими параметрами служат знаки и величины обменных взаимодействий, а также направление и величина внешнего магнитного поля. Топология решетки также оказывает сильное влияние на упорядоченность либо фрустрированность системы при одних и тех же физических параметрах.

Другая важная задача исследования — установление существенных особенностей поведения фрустрированных систем, отличающих их от систем нефрустрированных.

В изинговской, 3-вершинной и стандартной 4-вершинной моделях Поттса исследовались магнитное упорядочение, фазовые переходы и фрустрации на 1D-, 2D- и

3D-решетках: цепочке, квадратной, треугольной, гексагональной, кагоме, простой кубической и объемноцентрированной кубической при учете обменных взаимодействий между магнитными моментами на ближайших и вторых соседних узлах, а также внешнего магнитного поля.

Для решения задач рассчитывались, в основном, энтропия и теплоемкость, используя аналитические формулы точных решений для максимального собственного значения трансфер-матрицы Крамерса–Ванье. В отсутствие точных решений проводилось компьютерное моделирование в разных вариантах Монте-Карло и алгоритма Ванга–Ландау. С помощью расчетов энтропии, теплоемкости и намагниченности определялись точки фрустраций, фрустрационные поля и целые линии фрустраций.

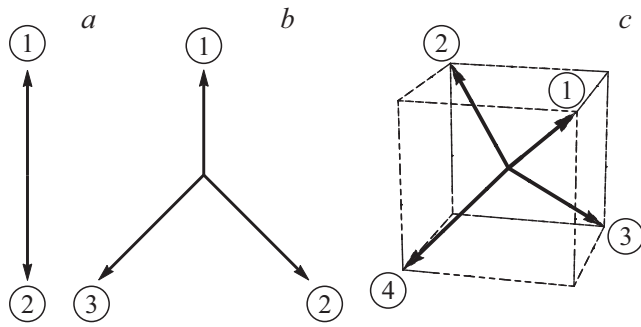
Термин „фрустрация“ был привнесен в теорию магнетизма Тулузом в 1977 г. [2]. Фрустрации в физике твердого тела формулируются обычно как явление невозможности одновременной минимизации всех слагаемых гамильтониана в присутствии конкурирующих взаимодействий. Это приводит к сильному вырождению основного состояния системы (бесконечное число конфигураций, имеющих одинаковую наименьшую внутреннюю энергию) с ненулевой энтропией при нулевой температуре.

### 2. Модели и основные формулы

Все рассматриваемые модели на всех исследуемых решетках описываются гамильтонианом

$$\mathcal{H} = -\frac{J}{2} \sum_{i,\Delta} (\mathbf{s}_i \cdot \mathbf{s}_{i+\Delta}) - \frac{J'}{2} \sum_{i,\Delta'} (\mathbf{s}_i \cdot \mathbf{s}_{i+\Delta'}) - \sum_i (\mathbf{h} \cdot \mathbf{s}_i), \quad (1)$$

где  $J$  и  $J'$  — обменные взаимодействия между спинами на соседних и следующих узлах,  $h$  — внешнее магнит-



**Рис. 1.** *a* — модель Изинга, *b* — 3-х вершинная модель Поттса, *c* — 4-х вершинная стандартная модель Поттса.

ное поле, суммирование выполняется по всем *i* узлам решетки, по ближайшим соседям  $\Delta$  и вторым соседям  $\Delta'$  узла *i*. Векторы единичной длины **s** принимают два, три или четыре разрешенных значения соответственно в модели Изинга, 3- и 4-вершинной моделях Поттса (рис. 1). При наличии точных решений энтропия, теплоемкость и намагниченность выражаются только через максимальное собственное значение трансфер-матрицы Крамерса–Ваннье  $\lambda$  с помощью формул

$$S = \ln(\lambda) + \frac{T}{\lambda} \frac{\partial \lambda}{\partial T}, \quad C = T \frac{\partial S}{\partial T}, \quad M = \frac{T}{\lambda} \frac{\partial \lambda}{\partial h}. \quad (2)$$

При отсутствии точных решений проводились численные расчеты модифицированными методами Монте-Карло, преимущественно в алгоритме Ванга–Ландау [3].

### 3. Упорядочение и фрустрации на одномерной решетке

На одномерной решетке в модели Изинга с учетом только взаимодействия между ближайшими соседями фрустраций не существует, имеет место фазовый переход при  $T \rightarrow 0$ : в ферромагнитной модели — с сохранением периода трансляций; в антиферромагнитной — с удвоением периода трансляций. В антиферромагнитных моделях Поттса, наоборот, при учете только взаимодействия ближайших соседей фрустрации возникают, а фазовый переход при  $T \rightarrow 0$  невозможен.

Учет взаимодействия между вторыми соседями порождает совершенно новые явления. В модели Изинга при учете двух типов конкурирующих взаимодействий между ближайшими и вторыми соседями: ферро-антиферро ( $J > 0, J' < 0$ ) и антиферро-антиферро ( $J < 0, J' < 0$ ) возникают фрустрации в точках  $r = -0.5$  ( $r = J'/J$ ) и  $r = 0.5$  соответственно, причем в обоих случаях энтропия при нулевой температуре равна логарифму золотого сечения  $S_{T=0} = \ln[(1 + \sqrt{5})/2] \sim 0.481$ .

В 3-вершинной антиферромагнитной модели Поттса любое, даже сколь угодно малое ферромагнитное взаимодействие вторых соседей уничтожает фрустрации и порождает фазовый переход с удвоением периода

трансляций; любое, даже сколь угодно малое, антиферромагнитное взаимодействие вторых соседей уничтожает фрустрации и порождает фазовый переход с утроением периода трансляций. При учете магнитного поля в 3-вершинной антиферромагнитной модели Поттса (направление поля совпадает с одним из направлений магнитных моментов) возникают фрустрации при  $h_{fr} = -2J$ , в котором нультемпературная энтропия равна  $\ln(2)$  [4].

В 4-вершинной стандартной антиферромагнитной модели Поттса любое, даже сколь угодно малое, положительное взаимодействие вторых соседей уничтожает фрустрации и порождает фазовый переход с удвоением периода трансляций. В отличие от 3-вершинной модели антиферромагнитное взаимодействие вторых соседей не может уничтожить фрустрации и породить фазовый переход. Основное состояние оказывается вырожденным с отличной от нуля энтропией при  $T \rightarrow 0$ , равной  $\ln(2)$ . Учет дополнительного антиферромагнитного взаимодействия между третьими соседями подавляет фрустрации [5].

В 3-вершинной ферромагнитной модели Поттса возникает полубесконечная линия фрустраций (фрустрационный параметр  $r = J'/J$ ), причем нультемпературная энтропия в точке фрустрации ( $r = -0.5$ ) равна  $\ln(2)$ , а при  $r < -0.5$ :  $\ln(2)/2$ .

В 4-вершинной ферромагнитной стандартной модели Поттса также возникает полубесконечная линия фрустраций (фрустрационный параметр  $r = J'/J$ ), причем нультемпературная энтропия в точке фрустрации ( $r = -0.5$ ) равна  $\ln[(1 + \sqrt{13})/2]$ , а при  $r < -0.5$ : равна  $\ln(3)/2$ .

Таким образом в 3- и 4-вершинных ферромагнитных моделях фрустраций не существует, а существует фазовый переход при  $T \rightarrow 0$ . Однако сильное взаимодействие вторых соседей  $|J'/J| > 0.5$  порождает фрустрации и подавляет нультемпературный фазовый переход.

Мы исследовали также квантовую антиферромагнитную модель Изинга с произвольным значением спина и учетом внешнего магнитного поля на линейной решетке [6]. Получены общие аналитические выражения для фрустрационного поля, нультемпературных значений намагниченности и энтропии во фрустрационном поле, а также нультемпературной энтропии в точках фрустраций при учете конкурирующих взаимодействий между ближайшими и вторыми соседями.

Одномерная антиферромагнитная модель Изинга на цепочке спинов с учетом взаимодействий между ближайшими соседями в магнитном поле оказывается фрустрированной в магнитном поле  $H_{fr} = 2s|J|$ . При этом точные выражения для намагниченности и энтропии во фрустрирующем поле при  $T \rightarrow 0$  как функции спина *s* имеют вид

$$M_{fr} = \left( \frac{2s - 1}{4} \right) + \left( \frac{2s + 1}{4} \right) \frac{1}{\sqrt{1 + 8s}}, \quad (3)$$

$$S_{fr} = \ln \left( \frac{1 + \sqrt{1 + 8s}}{2} \right). \quad (4)$$

В случае учета взаимодействий между ближайшими и вторыми соседями при отсутствии магнитного поля модель оказывается фрустрированной в точке  $|r| = 0.5$ , где  $r$  — отношение взаимодействия между вторыми соседями к таковому между ближайшими. В обоих случаях конкурирующих взаимодействий (антиферро-антиферро и ферро-антиферро) выражение для нультемпературной энтропии в точке фрустрации имеет вид

$$S_{fr} = \ln \frac{1}{3} \left[ 1 + \left( 27s - 8 + 3\sqrt{3}\sqrt{27s^3 - 16s} \right)^{1/3} + \left( 27s - 8 - 3\sqrt{3}\sqrt{27s^3 - 16s} \right)^{1/3} \right]. \quad (5)$$

### 4. Типы фазовых диаграмм

Многочисленные расчеты и анализ имеющихся в литературе результатов позволяет сделать вывод о существовании четырех типов фазовых диаграмм (зависимостей температур фазовых переходов от фрустрационных параметров).

На рис. 2 представлена фазовая диаграмма для наиболее изученного случая — модели Изинга на квадратной решетке с конкурирующими антиферромагнитными взаимодействиями между ближайшими  $J < 0$  и вторыми соседями  $J' < 0$  (см., например, [7]). Из расчетов следует, что существует единственная точка фрустраций  $r = 0.5$  ( $r = J'/J$ ), причем нультемпературная энтропия  $S_{T \rightarrow 0}$  равна нулю во всем диапазоне  $r$ , в том числе и во фрустрационной точке, а температура фазового перехода во фрустрационной точке равна нулю. Такое поведение наблюдается также в модели Изинга на квадратной и гексагональной решетках, причем фрустрационным параметром  $r$ , изменяющимся от  $\infty$  до  $+\infty$ , является отношение обменных взаимодействий между ближайшими соседями  $J_2/J_1$  по двум разным направлениям, а фрустрационные точки в том и в другом случае равны нулю. Такой тип поведения системы довольно широко

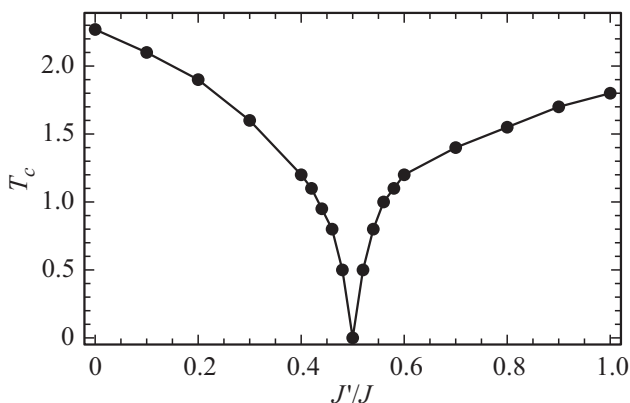


Рис. 2. Температура фазового перехода как функция  $J'/J$  в модели Изинга на квадратной решетке.

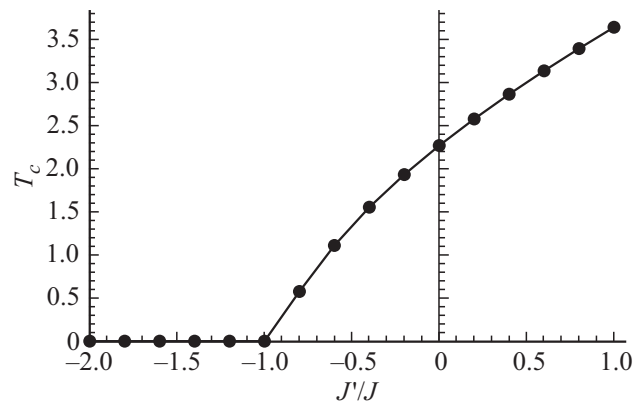


Рис. 3. Температура фазового перехода как функция  $r = J_2/J_1$  в модели Изинга на треугольной решетке.

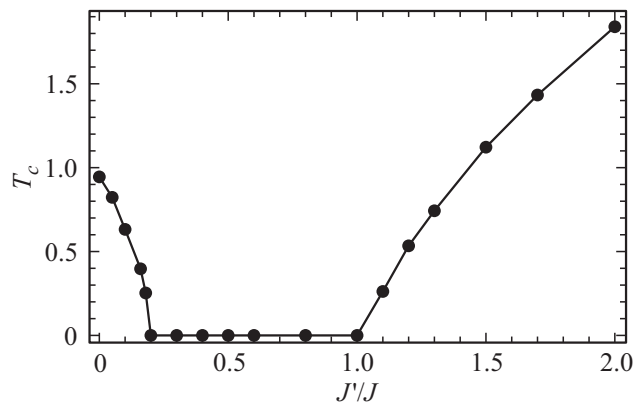


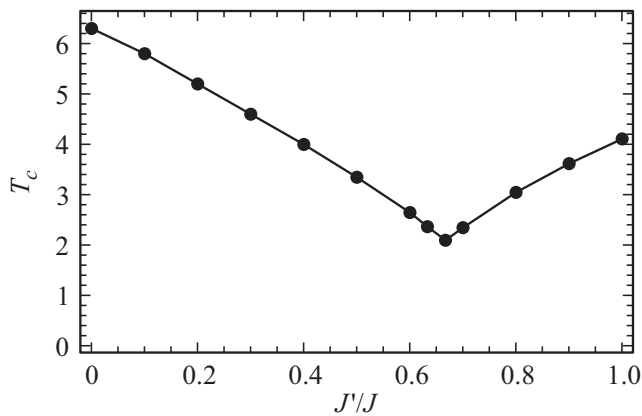
Рис. 4. Температура фазового перехода как функция  $J'/J$  в 3-вершинной модели Поттса на треугольной решетке [11].

распространен в литературе и получил не совсем удачное название квантового фазового перехода (QPT).

Второй тип фазовой диаграммы представлен на рис. 3 на примере модели Изинга на треугольной решетке и решетке кагоме. Фрустрационным параметром  $r$ , изменяющимся от  $-\infty$  до  $+\infty$ , здесь также является отношение обменных взаимодействий между ближайшими соседями  $J_2/J_1$  по двум разным направлениям. Однако существует одна особая фрустрационная точка  $r = -1$ , а также целый диапазон фрустраций на полубесконечной линии. Нультемпературная энтропия  $S_{T \rightarrow 0}$  во фрустрационной точке не равна нулю (0.323 на треугольной решетке [8], 0.501 на решетке кагоме [9]). Во всем остальном диапазоне фрустрационного параметра  $r \in (-1, +\infty)$  нультемпературная энтропия равна нулю.

Этот же тип фазовой диаграммы наблюдается в антиферромагнитной модели Изинга на квадратной решетке во внешнем поле при учете только взаимодействия между ближайшими соседями. Нультемпературная энтропия  $S_{T=0} \sim 0.408$  во фрустрационном поле  $h_{fr} = 4$  [10].

На рис. 4 представлен третий, совершенно новый тип фазовой диаграммы, полученной в работе [11]. Расчеты проводились в 3-вершинной модели Поттса



**Рис. 5.** Температура фазового перехода как функция  $J'/J$  в модели Изинга на ОЦК-решетке [12].

на треугольной решетке в двух вариантах конкурирующих обменных взаимодействий между ближайшими и вторыми соседями: 1) антиферромагнитное  $J_1$  — антиферромагнитное  $J_2$  и 2) ферромагнитное  $J_1$  — антиферромагнитное  $J_2$ . В обоих случаях наблюдается не одна фрустрационная точка, а конечный диапазон фрустрационного параметра  $r$  (от 0.2 до 1.0 в первом варианте и от  $-1.0$  до  $-0.5$  во втором), причем внутри того и другого диапазона нультемпературная энтропия  $S_{T=0} \sim 0.301$ .

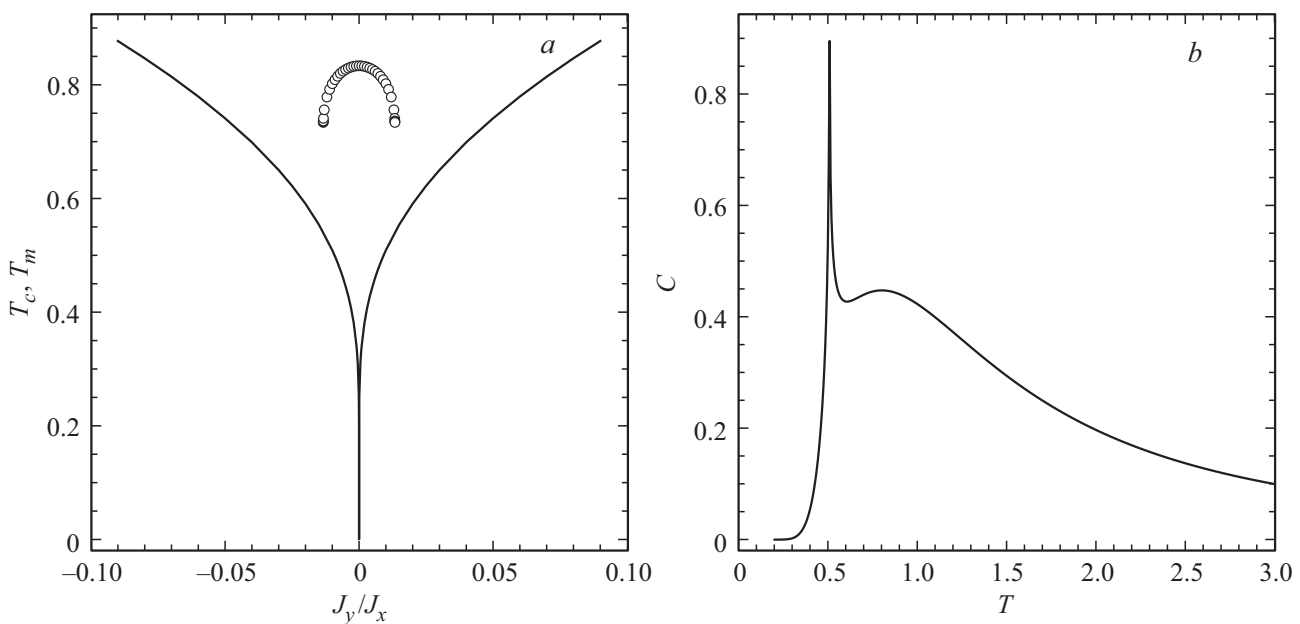
Пример четвертого типа фазовой диаграммы представлен на рис. 5 на примере ОЦК-решетки в модели Изинга с конкурирующими взаимодействиями между ближайшими и вторыми соседями: антиферромагнитном  $J_1$  и антиферромагнитном  $J_2$  [12]. Фрустрирующая

точка одна и равна  $r = 2/3$ . Аналогичный вид имеет и диаграмма во втором варианте конкурирующих обменных взаимодействий: ферромагнитном  $J_1$  и антиферромагнитном  $J_2$  с точкой фрустрации, равной  $r = -2/3$ . Этот же тип фазовой диаграммы наблюдается на простой кубической решетке в обоих вариантах конкурирующих взаимодействий с точкой фрустрации  $|r| = 1/4$ .

### 5. Расщепление теплоемкости

Мы обнаружили особое явление, присущее всем фрустрационным моделям на любых решетках: в непосредственной близости от точки фрустраций или фрустрационного поля теплоемкость расщепляется на острый лямбдаобразный онзагеровский пик и плавный куполообразный максимум. Острый пик, определяющий температуру фазового перехода, при приближении к точке фрустраций или фрустрационному полю стремится к нулю и исчезает точно в точке фрустраций или фрустрационном поле, а при удалении от точки фрустраций или фрустрационного поля, наоборот, исчезает куполообразный максимум.

Рис. 6, рассчитанный с помощью точного решения Онзагера [13], демонстрирует это явление. На рис. 6, *a* изображено поведение точки фазового перехода (сплошная линия) и положение куполообразного максимума (точки), как функция  $r = J_y/J_x$ . На рис. 6, *b* приведен расчет теплоемкости при  $r = 0.01$ . Такое же расщепление теплоемкости обнаруживается при расчетах во всех фрустрированных моделях и решетках, в частности, на антиферромагнитной треугольной решетке и решетке кагоме.



**Рис. 6.** Модель Изинга на квадратной решетке. *a* — температура фазового перехода  $T_c$  (сплошная линия) и положение пологого максимума  $T_m$  (точки). *b* — теплоемкость при  $J_y/J_x = 0.01$ .

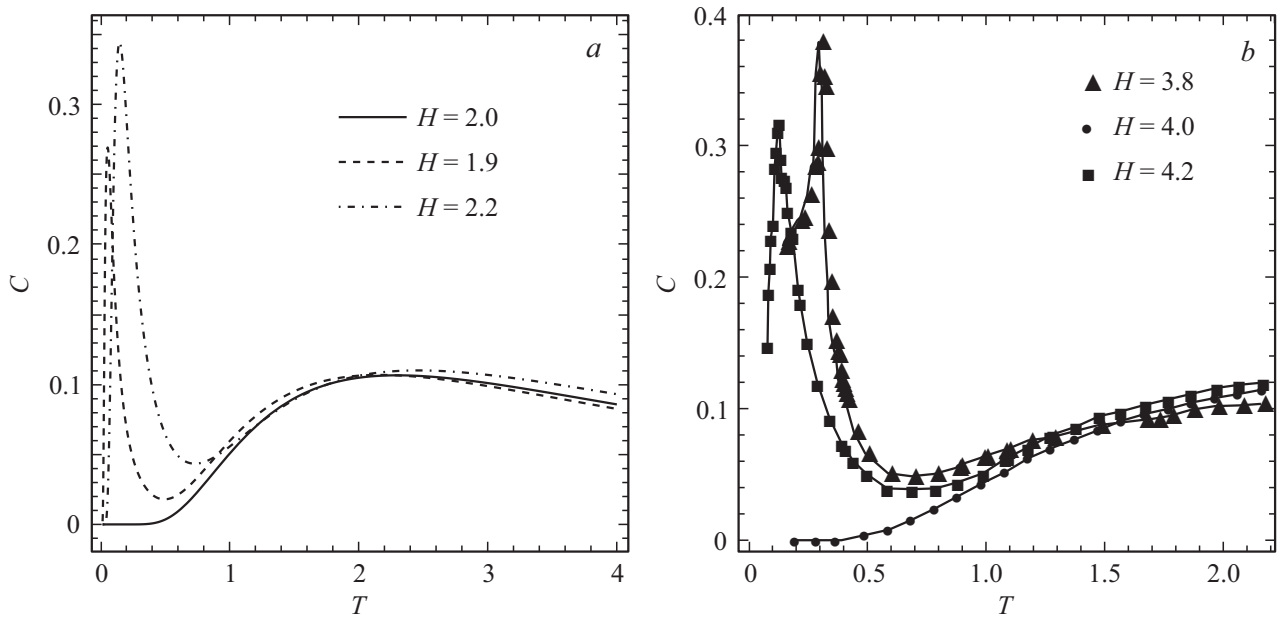


Рис. 7. Теплоемкость в модели Изинга на линейной (а) и квадратной решетках (b).

Рис. 7 демонстрирует, в качестве примера, расщепление теплоемкости на линейной цепочке и квадратной решетке в антиферромагнитной модели Изинга вблизи фрустрационного поля.

Такое расщепление магнитного вклада в теплоемкость и сдвиги острого пика и куполообразного максимума наблюдаются и в реальных 3D-кристаллах, в которых магнитные атомы занимают ГЦК-решетку, например, в монохалькогениде TmTe [14] и в монопниктиде ErBi [15]. Авторы обеих работ отмечают, что им не удалось описать расщепление теплоемкости теоретически.

## 6. Частичное упорядочение

Во фрустрированных системах наблюдается еще одно явление, тесно связанное с общими свойствами энтропии — это частичное упорядочение, или упорядочение с понижением размерности. В рассматриваемых моделях нультемпературная или остаточная энтропия (при  $T \rightarrow 0$ ), приходящаяся на один узел решетки, равна  $\ln(n)/N$ , где  $N$  — число узлов решетки, а  $n$  — число конфигураций с наименьшей внутренней энергией, то есть таких, которые выживают при  $T \rightarrow 0$ . Если  $n$  конечно, то в термодинамическом пределе ( $N \rightarrow \infty$ ) энтропия равна нулю, а в системе наблюдается упорядочение. Если же  $n$  бесконечно и порядка  $q^N$  ( $q$  — число разрешенных состояний на узле) то нультемпературная энтропия не равна нулю, и упорядочения нет даже при  $T \rightarrow 0$ , что соответствует фрустрациям.

На рис. 8, демонстрирующем пример частичного упорядочения на треугольной решетке в модели Изинга с антиферромагнитными взаимодействиями по трем направлениям (причем  $J_3 < J_1 = J_2$ ), представлена одна из

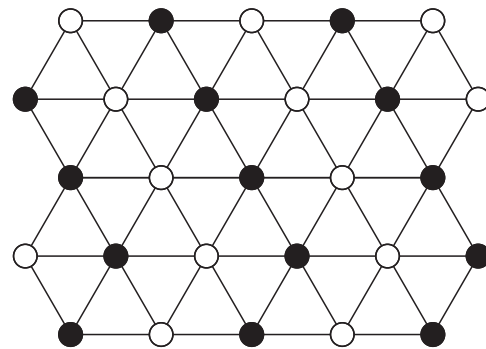


Рис. 8. Частичное упорядочение на треугольной решетке.

бесконечного множества конфигураций, имеющих наименьшую энергию при  $T = 0$ . Видно, что конфигурация представляет структуру, составленную из цепочек, упорядоченных антиферромагнитно в горизонтальном направлении, и неупорядоченных по другим направлениям.

Рис. 9 демонстрирует одновременно два примера частичного упорядочения на квадратной решетке в модели Изинга. Первый соответствует учету взаимодействия только между ближайшими соседями, причем  $J_y > 0$ ,  $J_x = 0$ . Второй пример соответствует учету взаимодействий между ближайшими и вторыми соседями, причем оба взаимодействия  $J_1$  и  $J_2$  антиферромагнитные, а фрустрирующий параметр  $r = J_2/J_1 = 0.5$ . Нультемпературная энтропия, приходящаяся на один узел решетки, в первом случае равна  $\ln(2)/N_y$  и соответственно равна нулю. Во втором случае, нультемпературная энтропия другая. Она равна  $\ln[(1 + \sqrt{5})/2]/N_x$  и в термодинамическом пределе также стремится к нулю. Совершенно



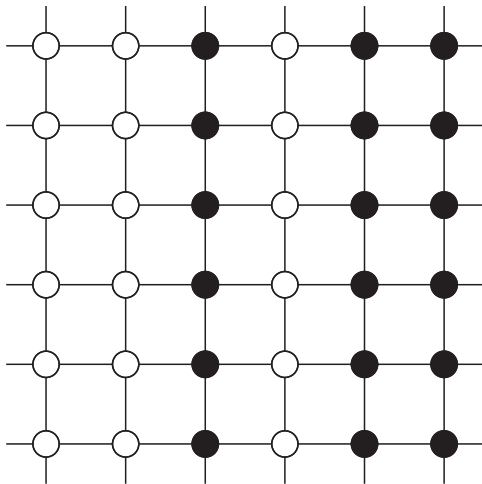


Рис. 9. Частичное упорядочение на квадратной решетке.

очевидно, что на всех  $2D$ -решетках в любых моделях частичное упорядочение сопровождается одним типом понижения размерности, а именно, с двумерного на одномерное. В трехмерном случае возможны три типа понижения размерности. Первый, с  $3D$  на  $2D$ , который в точке фрустраций должен сопровождаться ненулевым значением температуры перехода. Второй, с  $3D$  на  $1D$  с нулевым значением температуры перехода в точке фрустраций. Третий, двухстадийное понижение размерности, сначала с  $3D$  на  $2D$  с ненулевым значением температуры перехода, а затем с  $2D$  на  $1D$  с нулевым значением температуры перехода. Поэтому определение и поиски частичного упорядочения на  $3D$ -решетках представляет собой довольно сложную задачу.

### 7. Конкурирующие и неконкурирующие взаимодействия

В обширной литературе по компьютерному моделированию обычно считается, что конкурирующие взаимодействия между ближайшими и вторыми соседями могут быть в двух вариантах: ферро-антиферро ( $J > 0$  и  $J' < 0$ ), либо антиферро-антиферро ( $J < 0$  и  $J' < 0$ ). Это справедливо для модели Изинга на решетках всех размерностей, для 3-вершинной модели Поттса на треугольной решетке, для 4-вершинной стандартной модели Поттса на ГЦК-решетке и многих других. Однако это не всегда так. Совокупное влияние топологии решетки и применяемой модели может приводить к противоположному результату.

Рассмотрим, например, 3-вершинную модель Поттса с антиферромагнитными обменными взаимодействиями между ближайшими  $J$  и вторыми соседями  $J'$  на треугольной решетке и решетке кагоме. В этом случае оба взаимодействия (в отличие от модели Изинга) требуют не

антипараллельного расположения спинов в любой паре, а расположения спинов под углами  $120^\circ$ , либо  $240^\circ$ . Будем считать, что взаимодействие между ближайшими соседями много больше, чем между вторыми соседями. Тогда мы обязаны расположить спины на всех ближайших соседях под углами  $120^\circ$ , либо  $240^\circ$ . На рис. 10 (треугольная) и рис. 11 (кагоме) это требование выполнено на обеих решетках. Однако на треугольной решетке все пары вторых соседей расположены параллельно, что противоречит требованию обменного взаимодействия  $J'$ , т.е. возникла конкуренция. В противоположность этому, на решетке кагоме все пары вторых соседей уже расположены под углами  $120^\circ$  либо  $240^\circ$ , что отвечает требованию обменного взаимодействия  $J'$ . Таким образом, на решетке кагоме антиферромагнитные взаимодействия между ближайшими и вторыми соседями являются неконкурирующими.

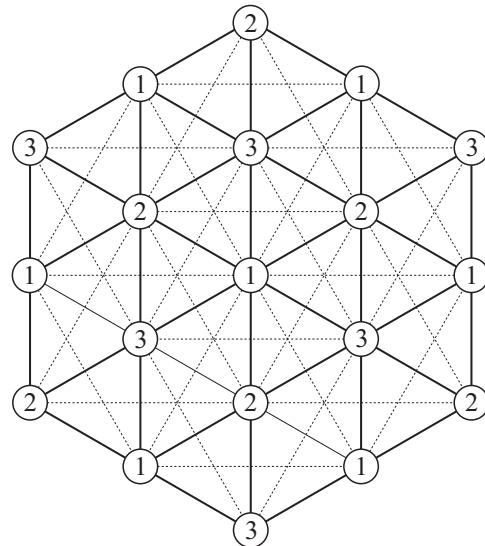


Рис. 10. 3-вершинная модель Поттса на треугольной решетке.

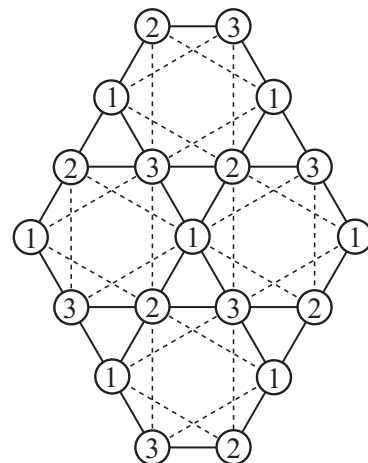
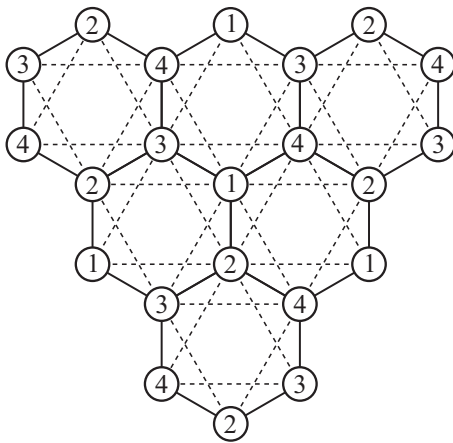


Рис. 11. 3-вершинная модель Поттса на решетке кагоме.



**Рис. 12.** 4-вершинная стандартная модель Поттса на гексагональной решетке.

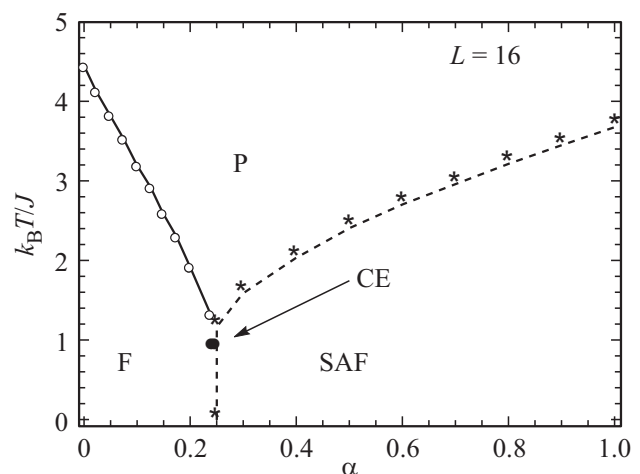
На рис. 12 приведен еще один пример неконкурирующих антиферромагнитных взаимодействий  $J$  и  $J'$  на гексагональной решетке в 4-вершинной стандартной модели Поттса. В данном случае оба взаимодействия (в отличие от модели Изинга) требуют не антипараллельного расположения спинов в любой паре, а расположения спинов под углом  $\arccos(-1/3)$ , и это требование уже выполнено для любых численных значений  $J$  и  $J'$ . Аналогичное явление наблюдается в 4-вершинной стандартной модели Поттса на треугольной решетке.

## 8. Заключение

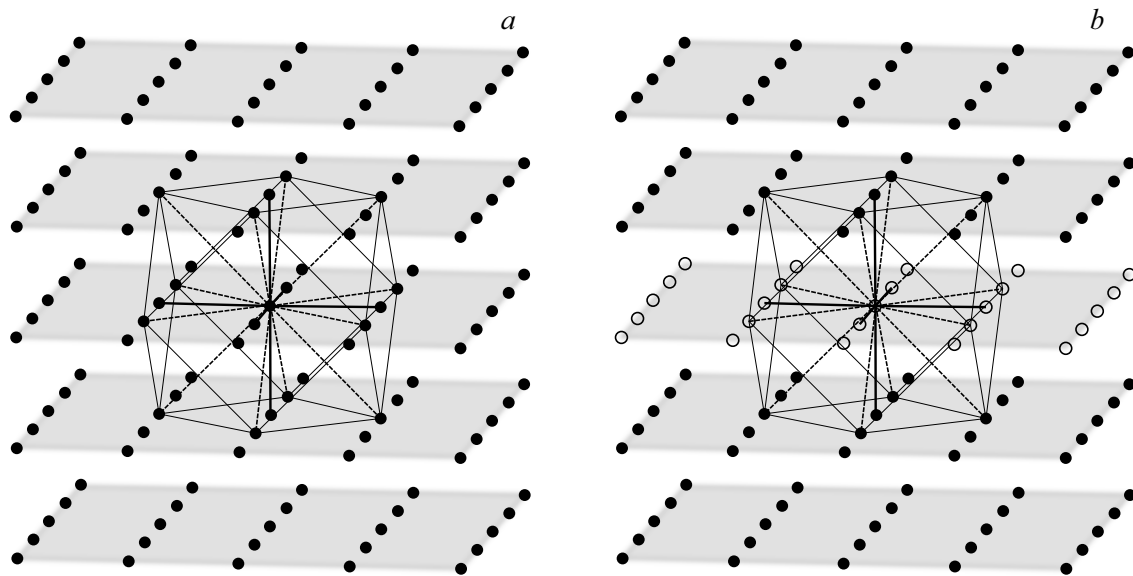
В данной работе в рассмотренных моделях на разных решетках исследовано возникновение самых разнообразных вариантов фазовых переходов и фрустраций — от отдельных точек фрустраций и фрустрационных полей до конечных и бесконечных линий фрустраций в пространстве параметров обменных взаимодействий и внешнего поля. В некоторых случаях фрустрации полностью подавляют фазовый переход для любых численных значений обменных взаимодействий. Подробно обсуждены уникальные особенности, присущие фрустрированным системам, которые не наблюдаются в системах без фрустраций. Это и разные типы фазовых диаграмм, и частичное упорядочение (упорядочение с понижением размерности). Наиболее поразительное свойство систем с фрустрациями — расщепление теплотемкости вблизи точек фрустраций и фрустрационных полей на острый лямбдаобразный онзагеровский пик и плавный куполообразный максимум, наблюдаемое во всех моделях на всех решетках, а также в различных экспериментах на реальных 3D-кристаллах. Это и тот факт, что одни и те же обменные взаимодействия могут быть как конкурирующими, так и неконкурирующими, приводит к возникновению, либо к подавлению фрустраций.

Следует отметить еще одну важную особенность фрустрированных систем — особые трудности численных расчетов при компьютерном моделировании, главной причиной которых является наличие множества конфигураций с весьма близкими значениями внутренней энергии именно вблизи точек фрустраций и фрустрационных полей. Вследствие этого, а также отсутствия надежных критериев истинности, многие подходы и численные методы расчета, отлично работающие при описании систем без фрустраций, часто приводят к явным ошибкам и ложным эффектам при попытках описать поведение фрустрированных систем. Так, например, в работе Юу [16], посвященной исследованию антиферромагнитной модели Изинга на одиннадцати двумерных архимедовых решетках с учетом только взаимодействия между ближайшими соседями, и опубликованной в престижном журнале *Physical Review E*, приведены численные значения нультемпературной энтропии для всех одиннадцати решеток, в том числе и для квадратной и гексагональной, причем для этих решеток нультемпературная энтропия равна  $\ln(2)$ , что является ошибкой, поскольку из точных решений Онзагера [13] и Гутаппеля [8] следует, что она равна нулю в том и другом случае. В этом отношении весьма примечательна работа авторитетного специалиста в области компьютерного моделирования Биндера [17], посвященная исследованию ГЦК-решетки также с учетом взаимодействия только между ближайшими соседями. В этой работе Биндер сделал следующие замечания:

1. Фазовая диаграмма отлична от всех предыдущих расчетов.
2. Все предыдущие подходы не согласуются с полученной диаграммой.
3. В заключение я нахожу серьезные недостатки в предыдущих исследованиях упорядочения на ГЦК-решетке, таких как методом кластерного варьирования,



**Рис. 13.** Температура фазового перехода как функция фрустрационного параметра  $\alpha = J_2/J_1$  в модели Изинга на простой кубической решетке [18].



**Рис. 14.** Частичное упорядочение в модели Изинга на простой кубической решетке с конкурирующими ферромагнитными  $J$  и антиферромагнитными  $J'$  взаимодействиями.

которые не учитывают должным образом „фрустрационные эффекты“.

Таким образом, следует учитывать все существенные особенности, присущие фрустрированным системам. В качестве примера рассмотрим проблему исследования на простой кубической решетке при учете ферромагнитного взаимодействия между ближайшими соседями  $J_1$  и антиферромагнитного взаимодействия между вторыми соседями  $J_2$  в модели Изинга, дискутируемую между авторами работ [18] и [19]. На рис. 13 приведена фазовая диаграмма из работы [18], на которой присутствуют два значения для температуры перехода в точке фрустраций со значением фрустрационного параметра  $\alpha = J_2/J_1 = 0.25$ . Главное различие результатов работ [18] и [19] заключается только в нулевом и ненулевом значении этой температуры перехода. При учете эффекта частичного упорядочения можно сделать вывод, что в первом случае должно наблюдаться понижение размерности из  $3D$  в  $1D$ , а во втором из  $3D$  в  $2D$ . Анализ внутренней энергии, свидетельствует о том, что единственно возможный вариант в простой кубической решетке, а именно, с  $3D$  на  $2D$ , происходит с упорядочением трех семейств плоскостей типа  $\{100\}$ . Следовательно, температура перехода в точке фрустраций должна быть ненулевой. Рис. 14 иллюстрирует результаты этого анализа.

## Список литературы

- [1] H.T. Diep. *Frustrated spin systems*. World Scientific (2013). 644 с.
- [2] G. Toulouse. *Commun. Phys.* **2**, 115 (1977).
- [3] F. Wang, D.P. Landau. *Phys. Rev. E* **64**, 056101 (2001).
- [4] F.A. Kassan-Ogly. *Phase Transitions* **71**, 39–55 (2000).

- [5] A.I. Proshkin. *JMMM* **383**, 13–18 (2015).
- [6] A. Proshkin, F. Kassan-Ogly. *Mater. Sci. Forum* **845**, 93 (2016).
- [7] A. Kalz, A. Honecker, S. Fuchs, T. Pruschke. *Eur. Phys. J. B* **65**, 533 (2008).
- [8] R.M.F. Houtappel. *Physica* **16**, 425 (1950).
- [9] K. Kanô. *Prog. Theor. Phys.* **10**, 158 (1953).
- [10] F.A. Kassan-Ogly, A.K. Murtazaev, A.K. Zhuravlev, M.K. Ramazanov, A.I. Proshkin. *JMMM* **384**, 247–254 (2015).
- [11] А.Б. Бабаев, М.А. Магомедов, А.К. Муртазаев, Ф.А. Кассан-Оглы, А.И. Прошкин. *ЖЭТФ* **149**, 357 (2016).
- [12] А.К. Муртазаев, М.К. Рамазанов, Ф.А. Кассан-Оглы, Д.Р. Курбанова. *ЖЭТФ* **147**, 127 (2015).
- [13] L. Onsager. *Phys. Rev.* **65**, 117 (1944).
- [14] T. Matsumara, H. Shida, T. Suzuki. *Physica B*: **230–232**, 738 (1997).
- [15] H. Wada, H. Imai, M. Shiga. *J. Alloys Compd.* **218**, 73 (1995).
- [16] U. Yu. *Phys. Rev. E* **91**, 062121 (2015).
- [17] K. Binder. *Phys. Rev. Lett.* **45**, 811 (1980).
- [18] O.D.R. Salmon. *Int. J. Mod. Phys. B* **27**, 1350162 (2013).
- [19] R.A. dos Anjos. *Phys. Rev. E* **76**, 022103 (2007).